

PAPER NAME

**INTERPRETASI BIDANG GELINCIR PALE  
O-ROCKSLIDE.pdf**

AUTHOR

**Rahmi Mulyasari**

WORD COUNT

**3593 Words**

CHARACTER COUNT

**21933 Characters**

PAGE COUNT

**13 Pages**

FILE SIZE

**2.2MB**

SUBMISSION DATE

**Dec 20, 2022 10:22 AM GMT+7**

REPORT DATE

**Dec 20, 2022 10:22 AM GMT+7****● 98% Overall Similarity**

The combined total of all matches, including overlapping sources, for each database.

- 97% Internet database
- 98% Publications database
- Crossref database
- Crossref Posted Content database
- 7% Submitted Works database

**● Excluded from Similarity Report**

- Bibliographic material
- Cited material



# Jurnal Geofisika Eksplorasi

E-ISSN 2685-6182  
P-ISSN 2356-1599

Vol. 06 No.02, July 2020



Geophysical Engineering Department  
Engineering Faculty

Home > Archives > Vol 6, No 2 (2020)

Vol 6, No 2 (2020)

Table of Contents

Articles

Cover

Editor JGE

10.23960/jge.v6i2.81 | Abstract views : 76

PDF

87

Foreword July 2020

Editor JGE

10.23960/jge.v6i2.82 | Abstract views : 76

PDF

88-90

Identifikasi Lapisan Akuifer Menggunakan Metode Seismik Refraksi di Desa Jatimulyo, Kecamatan Jati Agung, Kabupaten Lampung Selatan

Rhahmi Adni Pesma, Mokhammad Puput Erlangga, Intan Adiani Putri, Risky Martin Antosia, Ruhul Firdaus, Gestin Mey Ekawati

10.23960/jge.v6i2.66 | Abstract views : 961

PDF

91-100

OPTIMALISASI PENCITRAAN STRUKTUR BAWAH PERMUKAAN MENGGUNAKAN METODE KIRCHHOFF PRE-STACK TIME MIGRATION PADA DATA SEISMIK LAUT WETAR

Syamsurijal Rasimeng, Amelia Isti Ekarena, Bagus Sapto Mulyanto, Subarsyah Subarsyah, Andrian Wilyan Djaja

10.23960/jge.v6i2.67 | Abstract views : 204

PDF

101-112

Analisis Model Kecepatan Gelombang-P pada Coal-Seam Gas Studi Kasus Cekungan Sumatera Selatan, Indonesia

Harnanti Yogaputri Hutami, Fitriyani Fitriyani, Tiara Larasati Priniarti, Handoyo Handoyo

10.23960/jge.v6i2.74 | Abstract views : 165

PDF

113-120

INTERPRETASI GEOFISIKA BIDANG GELINCIR PALEO-ROCKSLIDE PARANGTRITIS

Akroma Hidayatika, Suharno Suharno, Rahmi Mulyasari, Hesti Hesti, Bella Restu Juliarka

10.23960/jge.v6i2.75 | Abstract views : 156

PDF

121-130

ANALISIS DEFORMASI PERMUKAAN MENGGUNAKAN METODE DInSAR (Differential Interferometry Synthetic Aperture Radar) PADA STUDI KASUS GEMPABUMI LOMBOK PERIODE AGUSTUS 2018

Muhammad Fikri Azhari, Karyanto Karyanto, Syamsurijal Rasimeng, Bagus Sapto Mulyanto

10.23960/jge.v6i2.68 | Abstract views : 500

PDF

131-144

IDENTIFIKASI PATAHAN DI DESA TAMAN AYU KECAMATAN GERUNG KABUPATEN LOMBOK BARAT MENGGUNAKAN METODE GEOMAGNET

Deni Hermansyah, Bakti Sukrisna, Suhayat Minardi

10.23960/jge.v6i2.70 | Abstract views : 221

PDF

145-155

STRUKTUR GEOLOGI DAN VULKANOSTRATIGRAFI; PENDEKATAN MODEL ELEVASI DIGITAL DAN CITRA LANDSAT 8

Hari Wiki Utama

10.23960/jge.v6i2.80 | Abstract views : 3523

PDF

156-168

**Editorial Team**

Editor in Chief

Rahmat Catur Wibowo, S.T., M.Eng., Geophysical Engineering Department, University of Lampung, Indonesia

Editorial Member

Prof. Dr. Andri Dian Nugraha, S.Si., M.Si., Geophysical Engineering Department, Institut Teknologi Bandung, Indonesia

Dr.Ir. Nandi Haerudin, S.Si., M.Si., Geophysical Engineering Department, University of Lampung, Indonesia

Dr.Ir. Muh. Sarkowi, S.Si., M.Si., Geophysical Engineering Department, University of Lampung, Indonesia

Dr. Asep Harja, Geophysics, Faculty of Natural Science Universitas Padjajaran, Indonesia

Dr. Eng. Agus Setyawan, Physics Department, Mathematics and Natural Science Faculty Universitas Diponegoro, Indonesia

Dr. Donatus Hendra Amijaya, S.T., M.T., Geological Engineering Department, Universitas Gadjah Mada, Indonesia

Indra Arifianto, S.T., M.Eng., Computational Earthquake Seismology, King Abdullah University of Science and Technology, Saudi Arabia

Juan Pandu Gya Nur Rochman, S.Si., M.T., Geophysical Engineering Department, Civil Engineering, Planning and Earth Science Faculty, Institut Teknologi Sepuluh Nopember, Indonesia

**Editorial Assistant**

Sandri Erfani, S.Si., M.Eng., University of Lampung, Indonesia

Ida Bagus Suananda Yogi, S.T., M.T., University of Lampung, Indonesia

Isti Nur Kumalasari, S.T., M.T., Geophysical Engineering Department, Engineering Faculty Universitas Lampung, Indonesia

Istifani Ferucha, S.T., Faculty of Mining and Petroleum Engineering, Institut Teknologi Bandung, Indonesia

## INTERPRETASI BIDANG GELINCIR PALEO-ROCKSLIDE PARANGTRITIS MENGGUNAKAN METODE GEOFISIKA AUDIO MAGNETO-TELLURIC (AMT)

### *PARANGTRITIS PALEO-ROCKSLIDE SLIP SURFACE INTERPRETATION USING AUDIO MAGNETO-TELLURIC (AMT) GEOPHYSICAL METHOD*

Akroma Hidayatika<sup>1\*</sup>, Suharno<sup>2</sup>, Rahmi Mulyasari<sup>3</sup>, Hesti<sup>4</sup>, Bella R Juliarka<sup>5</sup>

<sup>1,2,3,4</sup>Teknik Geofisika Universitas Lampung; Jl. Soemantri Brodjonegoro No 1 Gedung Meneng, Bandar Lampung; telp (0721) 704947

<sup>5</sup>Teknik Geologi Institut Teknologi Sumatera; Jl. Terusan Rasyudu, Way Hui, Jati Agung, Lampung Selatan; telp (0721) 8030188

Received: 2020, 06<sup>th</sup> June  
Accepted: 2020, 03<sup>rd</sup> July

#### Keyword:

Paleo-rockslide;  
Audio-MagnetoTelluric;  
Parangtritis.

#### Correspondent Email:

[akr\\_tika@yahoo.co.id](mailto:akr_tika@yahoo.co.id)

#### How to cite this article:

Hidayatika, A., Suharno, Mulyasari, R., Hesti, & Juliarka, B.R. (2020). Interpretasi Bidang Gelincir Paleo-Rockslide Menggunakan Metode Geofisika Audio Magneto-Telluric (AMT). *Jurnal Geofisika Eksplorasi*, 6(2), 121-130.

**Abstrak.** Parangtritis memiliki area dengan resiko jatuhnya batuan (*rockslide*) dengan tingkat menengah hingga tinggi. Parangtritis juga memiliki *paleo-rockslide* dalam skala besar yakni melibatkan lebih dari 800 juta m<sup>3</sup> massa batuan dengan area 1500 m x 2700 m. Hal tersebut merupakan salah satu faktor perubahan bentang alam yang signifikan. Penelitian ini menggunakan 9 titik data primer *Audio-MagnetoTelluric* (AMT). Menggunakan jarak antar titik 750 m membentuk lintasan persegi 2 km x 2 km. Lokasi penelitian fokus pada sisi barat area *paleo-rockslide* di Desa Parangtritis. Pengolahan data AMT menggunakan bantuan perangkat lunak MT-INV dan RockWorks. Hasil inversi satu dimensi terdiri dari 3 lapisan. Menunjukkan nilai resistivitas rendah (0-10 Ωm) diinterpretasikan sebagai endapan pantai dan gumpuk pasir, resistivitas sedang (50 - 160 Ωm) untuk batugamping Wonosari dan resistivitas tinggi (> 170 Ωm) untuk breksi andesit Nglanggran. Ketebalan rata-rata lapisan pertama 44 m dan lapisan kedua mencapai 175 m. Berdasarkan struktur resistivitas dari data AMT, interpretasi kontak batas antara batugamping Wonosari dan breksi andesit Nglanggran dapat berperan sebagai bidang gelincir dikedalaman sekitar 250 m. Bidang ini merupakan bidang sesar pasif yang dikontrol sesar Girijati di timur daerah penelitian.

**Abstract.** Parangtritis has a rock fall hazard area with a medium to high level of risk. In Parangtritis, there was a large-scale paleo-rockslide that involved more than 800 million m<sup>3</sup> of rock mass with an area of 1500 m x 2700 m. This is a significant factor in changing the landscape. This research uses 9 Audio-MagnetoTelluric (AMT) primary data points. Using the distance between points 750 m within a 2 km x 2 km study area. The location focused on the western side of the paleo-landslide area in Parangtritis Village. Processing AMT data using the help of MT-INV and RockWorks software. The result of one-dimensional inversion consists of 3 layers. Indicates a low resistivity value (0-10 Ωm) interpreted as beach deposition and sand dune, medium resistivity (50 - 160 Ωm) for Wonosari limestone and high resistivity (> 170 Ωm) for Nglanggran

© 2020 JGE (Jurnal Geofisika Eksplorasi). This article is an open access article distributed under the terms and conditions of the Creative Commons Attribution (CC BY NC)

*andesite breccias. The average thickness of the first layer is 44 m and the second layer reaches 175 m. Based on the resistivity structure of the AMT data, the interpretation of the boundary contact between the Wonosari limestone and the Nglanggran andesite breccia can act as a slip field in a depth of about 250 m This field is a passive fault field controlled by the Girijati fault in the east of the study area.*

## 1. PENDAHULUAN

Berdasarkan klasifikasi (Varnes, 1978) istilah *paleo-rockslide* dapat didefinisikan sebagai kejadian jatuhnya batuan keras yang melibatkan tanah longsor, yang telah lampau dalam kurun waktu geologi. Menurut Husein dan Srijono (2007) kejadian *paleo-rockslide* di Parangtritis diperkirakan terjadi selama Plio-Pleistosen dengan melibatkan lebih dari 800 juta m<sup>3</sup> massa batuan dengan area 1500 m x 2700 m. Melihat besarnya kejadian, tentunya akan lebih baik jika memiliki data yang lebih banyak dalam mengkaji *paleo-rockslide* di area ini. Seperti data fisik batuan dalam jumlah besar tanpa melakukan pemboran atau perusakan alam. Data tersebut dapat diperoleh menggunakan metode geofisika Magnetotelurik (MT). Pada penelitian sebelumnya, Husein dkk. (2007) menggunakan data MT sebanyak 2 titik untuk menginterpretasikan kontak stratigrafi lapisan breksi andesit dan batu kapur dengan jelas di area Parangtritis.

Magnetotelurik (MT) adalah metode geofisika pasif yang mengukur variasi waktu medan listrik dan medan magnet alami di permukaan bumi (Cagniard, 1953). Metode ini memanfaatkan sifat fisika batuan yaitu, resistivitas. Metode MT yang mampu mengukur resistivitas batuan dan memiliki efisiensi tinggi salah satunya adalah metode Audio-Magneto Telluric atau AMT (Berkold, 1983). Metode AMT menggunakan gelombang elektromagnetik alami berfrekuensi 8 Hz - 20 kHz (Cagniard, 1953). Metode ini mampu memberikan informasi kedalaman hingga ± 2 km pada titik tertentu (Hoover & Long, 1976).

Berdasarkan para peneliti terdahulu, metode MT merupakan metode yang efisien dalam menentukan batas perlapisan batuan dan struktur geologi, tentunya akan dapat pula digunakan untuk menentukan bidang gelincir dari longsor purba. Oleh karena pada umumnya bidang gelincir dari *rockslide* berupa struktur sesar atau kekar yang melibatkan kontak antar perlapisan. Penggunaan data AMT sebanyak 9 titik diharapkan mampu memberikan informasi lebih mengenai struktur resistivitas hingga kedalaman bidang dasar sesar (*failure base plane*) atau bidang gelincir dari *paleo-rockslide* Parangtritis.

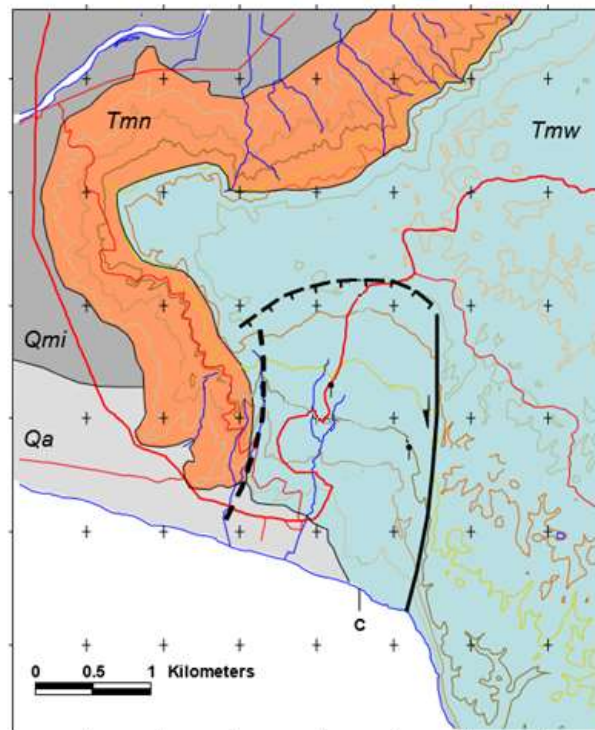
## 2. TINJAUAN PUSTAKA

### 2.1. *Paleo-rockslide* Parangtritis

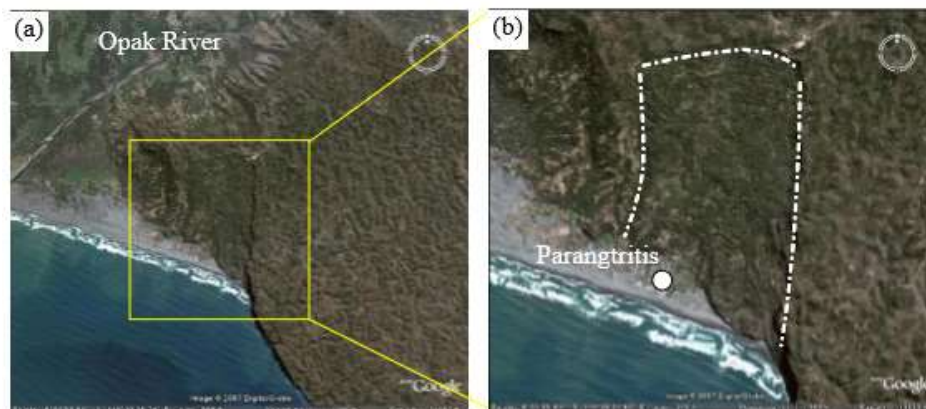
Husein dkk. (2007) memaparkan bahwa pada ujung selatan Benteng Baturagung, didekat Pantai Parangtritis Yogyakarta terdapat *paleo-landslide* (yang selanjutnya disebut *paleo-rockslide* karena istilah ini lebih tepat untuk longsor di Parangtritis) dalam skala besar. Dikatakan batuan longsor-purba (*paleo-rockslide*) karena kejadian sliding diperkirakan selama masa Plio-Pleistosen (**Gambar 1**). Interpretasi waktu *sliding* didasarkan oleh informasi stratigrafi dan morfologi. Karena *rockslide* ini melibatkan batu kapur Wonosari sebagai unit batu termuda, tentunya kejadian *rockslide* harus setelah pengendapan batuan ini. Oleh karena itu, kejadian harus berlangsung selama pengangkatan karena mekanisme utamanya adalah sesar normal dengan *strike-slip*.

Peristiwa ini bergerak ke arah selatan, dan membentuk perubahan bentang alam yang signifikan. Kejadian ini melibatkan topografi seluas 2,7 km x 1,5 km yang dibatasi oleh dua buah sesar yang sejajar berarah utara-selatan. Kedua sesar tersebut termasuk dalam Sistem

Sesar Opak. Sesar batas timur disebut Sesar Girijati (**Gambar 2**), yang merupakan pengontrol utama pergerakan massa dan pembentukan tebing-tebing curam di area ini (Husein dkk., 2007).



**Gambar 1.** Peta Geologi area *paleo-rockslide* Parangtritis yang dibatasi sesar Girijati dan sesar Parangtritis, penyederhanaan dari Rahardjo dkk. (1995) oleh Husein dkk. (2007). Penelitian hanya mencakupi sisi bagian barat area *paleo-rockslide*. Tmn: Formasi Nglanggran, Tmw: Formasi Wonosari, Qmi: Endapan Gunungapi Muda Merapi, Qa: Alluvial. Garis hitam: sesar, Garis hitam putus-putus: sesar terduga



**Gambar 2.** Citra satelit area *paleo-rockslide* Parangtritis; garis putih pada b. Sesar batas (Husein dkk., 2007)

Data geologi permukaan sangat dibutuhkan dalam interpretasi data geofisika dalam mengidentifikasi litologi bawah permukaan. Breksi andesit Nglanggran ditemukan di sepanjang bagian utara hingga bagian barat daerah penelitian. Penamaan satuan ini berdasarkan dominasi breksi andesit yang ditemukan di lapangan. Hubungan satuan breksi andesit dengan satuan batugamping di atasnya adalah ketidakselarasan. Breksi andesit Nglanggran berwarna abu-abu kecoklatan dengan ukuran dari pasir hingga bongkah berstruktur masif, sortasi buruk dan kemas terbuka. Batuan ini tersingkap di permukaan pada titik pengukuran AMT 1 dan AMT 5. Komposisi fragmen andesit dan matriknya berupa material-material berukuran pasir. Satuan breksi andesit di daerah penelitian dapat dikatakan sebagai penyusun utama Formasi Nglanggran yang diendapkan pada Miosen Awal sampai Miosen Tengah (Raharjo, 1995).

Batugamping Wonosari tersingkap pada titik pengukuran AMT 3, 6 dan 9 berada pada satuan topografi berlereng sedang hingga sangat curam. Secara geomorfologi menurut Karlina (2014) batugamping ini membentuk bukit karst, menurut Husein dan Srijono (2007) termasuk dalam satuan pegunungan struktural terbiku sedang hingga terbiku tinggi. Jika diamati lebih lanjut dari DEM, satuan ini dapat lebih tepat berada pada perbukitan struktural. Satuan batugamping ini menumpang secara tidak selaras di atas satuan breksi andesit. Batugamping ini berwarna abu-abu kecoklatan sebagian, dan lainnya berwarna kekuningan (dapat disebut sebagai batugamping terumbu). Sebagian besar berukuran pasir kasar, bertekstur klastik dengan komposisi mineral kalsit sedangkan menurut Juliarka (2017) berkomposisi mineral karbonat dengan struktur masif. Berdasarkan kenampakan megaskopis tersebut maka satuan batugamping ini termasuk kedalam Formasi Wonosari yang berumur Miosen Tengah hingga Pliosen (Raharjo, 1995).

Endapan pantai yang berupa pasir tersingkap di titik pengukuran AMT 6, AMT 7 dan AMT 8. Butir pasir berukuran halus hingga sedang ditemukan pada daerah yang berada dekat pantai, yaitu pada bagian barat daya daerah penelitian. Endapan ini berwarna abu-abu kehitaman dan material pasirnya saling lepas satu sama lainnya. Menurut Rahardjo dkk. (1995) sumber endapan ini adalah aktivitas Gunung Merapi dan hasil lepasan material batuan lain yang lebih tua yang terbawa aliran sungai hingga bermuara ke pantai. Mineral yang banyak dijumpai adalah mineral dengan tingkat resistensi yang tinggi terutama pada mineral-mineral berat. Struktur yang banyak ditemukan pada endapan pantai berupa struktur *ripple mark*.

## 2.2. Audio Magneto-Telluric (AMT)

Informasi mengenai konduktivitas medium dalam data MT diperoleh dari penyelesaian persamaan Maxwell. Berdasarkan Cagniard (1953), pengukuran variasi medan listrik (E) dan medan magnet (H) yang saling tegak lurus akan menghasilkan impedansi (perbandingan E dan H). Impedansi menggambarkan sifat kelistrikan bawah permukaan bumi (Cagniard, 1953), dirumuskan sebagai berikut:

$$Z_{xy} = \frac{E_x}{H_y} = \sqrt{i \omega \mu_o \rho} \quad (1)$$

$$Z_{yx} = \frac{E_y}{H_x} = -\sqrt{i \omega \mu_o \rho} \quad (2)$$

dengan  $Z$  merupakan impedansi, sedangkan  $x$  dan  $y$  arah secara respektif. Impedansi dapat pula dinyatakan sebagai besaran resistivitas  $\rho$  dan fasa  $\varphi$ , dapat dituliskan sebagai berikut:

$$\rho = \frac{|Z_{ij}|^2}{\omega \mu_o} \quad (3)$$

$$\varphi_{ij} = \tan^{-1} \frac{Im [Z_{ij}]}{Re [Z_{ij}]} \quad (4)$$

dengan  $\omega=2\pi f$  dan  $\mu_o$  merupakan permitivitas magnetik.

Dalam memperkirakan kedalaman penetrasi atau kedalaman investigasi



1 gelombang EM menggunakan besaran *skin depth*  $\delta$ . Dapat dirumuskan sebagai berikut:

$$\delta = \sqrt{\frac{2\rho}{\omega\mu_0}} \quad (5)$$

Model 1-D direpresentasikan dari nilai resistivitas terhadap kedalaman. Model yang digunakan terdiri dari beberapa lapisan yang memiliki resistivitas konstan atau homogen dan isotropis (Cagniard, 1953). Parameter model berupa resistivitas tiap lapisan dengan lapisan terakhir medium homogen (Vozoff, 1991).

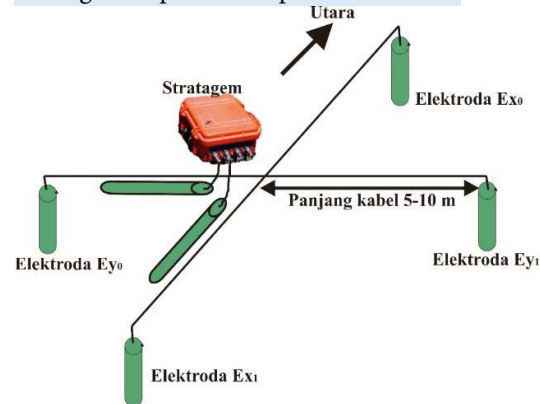
Konduktivitas ( $\sigma$ ) atau resistivitas ( $\rho = 1/\sigma$ ) merupakan kemampuan suatu medium untuk dilalui muatan listrik. Aliran arus listrik di dalam batuan dan mineral dapat di golongkan menjadi tiga macam, yaitu konduksi secara elektronik, konduksi secara elektrolitik, dan konduksi secara dielektrik (Caldwell dkk., 1986).

Sebagian besar batuan merupakan konduktor yang buruk dan memiliki resistivitas yang sangat tinggi. Namun pada kenyataannya batuan biasanya bersifat porous dan memiliki pori-pori yang terisi oleh fluida, terutama air. Akibatnya batuan-batuan tersebut menjadi konduktor elektrolitik, dimana konduksi arus listrik dibawa oleh ion-ion elektrolitik dalam air. Konduktivitas dan resistivitas batuan porous bergantung pada volume dan susunan pori-porinya. Konduktivitas akan semakin besar jika kandungan air dalam batuan bertambah banyak, dan sebaliknya resistivitas akan semakin besar jika kandungan air dalam batuan berkurang (Caldwell dkk., 1986).

### 3. METODE PENELITIAN

Penelitian ini terdiri dari survei geofisika *Audio Magnetotelurik* (AMT). Titik ukur AMT berjumlah 9 titik. Pada area penelitian seluas 2 x 2 km<sup>2</sup> dengan ketinggian antara 5 hingga 100 m di atas permukaan laut. Koordinat batas area penelitian adalah UTM 428000-9116000 hingga UTM 424000-9112500. Survey menggunakan metode MT dilakukan dengan mengukur dua

komponen tegak lurus horizontal (x dan y) dari medan listrik (E) dan medan magnetik (B) juga komponen vertikal (z) medan magnetik (B) sehingga total lima komponen. Cara pemasangan sistem penerima pada alat Stratagem dapat dilihat pada **Gambar 3**.



**Gambar 3.** Cara Pemasangan Sensor pada Survei AMT

Perekaman data saat akuisisi AMT menggunakan stratagem terdiri dari 3 *band* frekuensi, yaitu *band* 1 (10Hz-1kHz) menunjukkan target yang dalam, *band* 2 (500 Hz-3kHz) menunjukkan target kedalaman sedang, dan *band* 3 (750Hz-92kHz) menunjukkan target yang dangkal. Sedangkan keluaran data dari stratagem merupakan hasil perhitungan impedansi pada arah X dan Y berupa data frekuensi, koherensi, *apparent resistivity* (resistivitas semu) dan fase.

Pengolahan data pada penelitian ini menggunakan hasil inversi 1-D dari perangkat lunak MTINV sebagai masukan program untuk di visualkan dalam Rockworks 15.

Nilai resistivitas batuan menurut Vozoff (1991) ditunjukkan pada **Tabel 1** dan menurut Telford dkk. (1990) **Tabel 2**. Daerah penelitian memiliki komposisi geologi batuan gamping dari Formasi Wonosari dan breksi Formasi Nglanggran. Perbedaan nilai resistivitas antar komposisi geologi tersebut akan mampu menunjukkan kelimpahannya dan kontak antara lapisan di bawah permukaan sehingga bidang gelincir dapat diinterpretasikan.

4.1 HASIL DAN PEMBAHASAN

Hasil inversi 1D pada titik 1x menunjukkan error sebesar 0,19 dengan rata-rata peredaman (damp-mean) 0,17. Lapisan pertama memiliki resistivitas seharga 197,93 Ωm dengan ketebalan 31, 21 m di bawah permukaan. Lapisan kedua dengan resistivitas 229,19 Ωm ketebalannya mencapai 154,86 m di bawah permukaan. Inversi pada titik 2x memiliki nilai RMS-error 0,11 dan rata-rata peredaman 0,14. Hasil inversi titik ini memiliki nilai resistivitas per lapisan yang mirip dengan titik ukur 1x. Jarak antara titik ukur 1 dan 2 sekitar 750 m. Hasil inversi lapisan pertama menunjukkan nilai resistivitas 66,23 Ωm setebal 89,21 m dan lapisan kedua 82,15 Ωm setebal 94,96 m, selanjutnya lapisan ketiga menerus hingga kedalaman 1000 m memiliki resistivitas 301,11 Ωm. Titik 3x memiliki error 0,19 dengan rata-rata redam 0,1. Lapisan pertama dengan resistivitas 69,14 Ωm dan ketebalan 121,07 m. Lapisan kedua memiliki resistivitas 84,15 Ωm setebal 141,16 m lalu lapisan ketiga memiliki

resistivitas 298,31 diinterpretasikan menerus hingga kedalaman 1000 m. Selanjutnya titik 4x memiliki kedalaman 12,11 m untuk resistivitas lapisan pertama dengan angka kecil yaitu 9,04 Ωm melonjak ke lapisan kedua mencapai nilai 248,05 Ωm hingga kedalaman 179,16 m di bawah permukaan, kemudian lapisan ketiga dengan resistivitas 298,21 Ωm menerus hingga kedalaman 1000 m. RMS-error pada titik 3x yaitu 0,21 dan rata-rata peredaman senilai 0,1. Hasil inversi 1D per lapisan untuk titik 5x lapisan pertama hingga tiga berturut memiliki resistivitas 191,14 Ωm; 257,05 Ωm dan 301, 27 Ωm. Pola resistivitas pada titik ini memiliki kemiripan dengan titik 1 dan titik 8. Ketebalan lapisan pertama 52,65 m dan lapisan kedua 129,15 m dan lapisan ke tiga menerus hingga kedalaman 1000 m. Selanjutnya untuk titik 6x pola ketiga lapisan hasil inversi memiliki kemiripan pola resistivitas dengan titik 2 dan titik 9. Sedangkan titik 7 memiliki kemiripan dengan titik 4.

Tabel 1. Resistivitas batuan (Vozoff, 1991)

Batuan	Res minimum (ohm-m)	Res maksimum (ohm-m)
Granit	$3 \times 10^3$	$10^6$
Gabro	$10^3$	$10^6$
Batu Gamping	50	$10^7$
Batu Pasir	1	$6,4 \times 10^8$
Serpilh	0,3	$2 \times 10^3$
Marl	3	70

Tabel 2. Resistivitas batuan (Telford dkk., 1990)

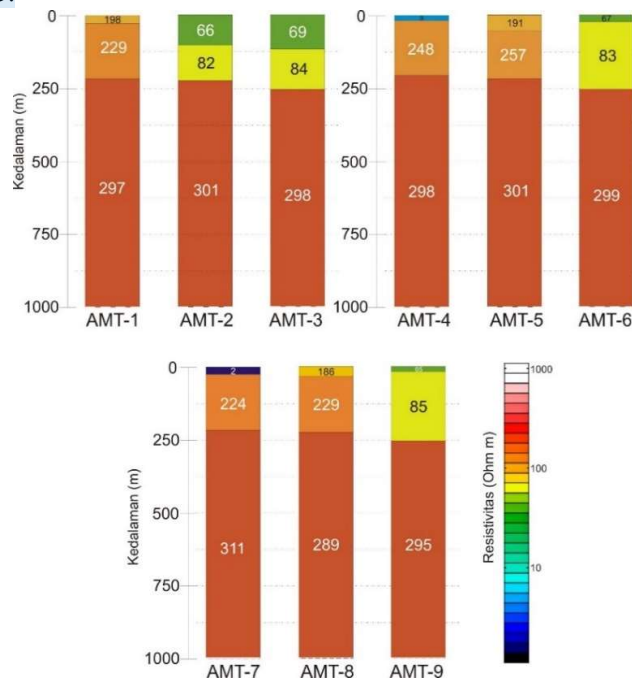
Batuan	Res minimum (ohm-m)	Res maksimum (ohm-m)
Udara	0	0
Batu Pasir	200	$8 \times 10^3$
Andesit	170	$4,5 \times 10^4$
Aluvium	10	800
Air Asin	0,2	
Air Tanah	0,5	300

Setelah data hasil inversi 3 lapisan diperoleh, dibuat diagram batang per-titik pengukuran dari kedalaman nol hingga 1000 m, ditampilkan pada Gambar 4. Diagram batang disajikan

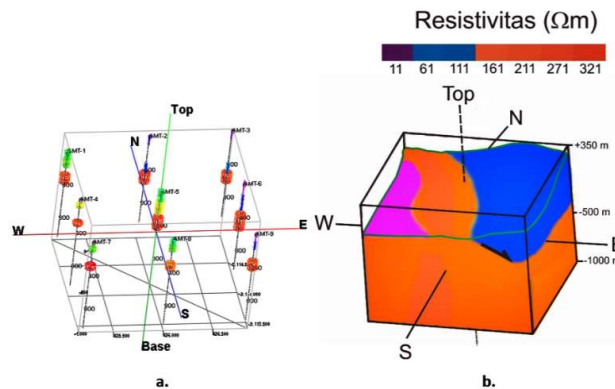
untuk mempermudah membaca data hasil inversi 1D setiap titiknya. Rata-rata ketebalan lapisan pertama dari 9 titik pengukuran adalah 44 m. Kemudian rata-rata ketebalan lapisan

kedua mencapai 175 m sedangkan lapisan ketiga dikalkulasi memiliki ketebalan tanpa batas. Nilai resistivitas terendah yaitu  $2,04 \Omega\text{m}$  dan nilai tertinggi mencapai  $311,27 \Omega\text{m}$ . Sedangkan rata-rata nilai *error* dari hasil inversi 0,17 dengan rata-rata peredaman dari 9 titik pengukuran senilai 0,3.

Data hasil inversi 1D divisualkan dalam bidang 3D untuk tampilan yang lebih mudah dipahami dan lebih menarik secara visual. Ke-9 titik ukur AMT di plotkan dalam bidang 3D yang ditampilkan pada **Gambar 5**.



**Gambar 4.** Diagram batang Visual 1D data AMT 1 – AMT 9 hasil inversi menggunakan MT INV. Menggunakan interpretasi 3 lapisan



**Gambar 5 a.** Plot titik ukur data AMT dengan data resistivitas hasil inversi 1D **b.** Visual struktur resistivitas 3D menggunakan software *Rockworks*

Lintasan AA' dan lintasan BB' dibuat menyalang untuk membantu interpretasi bawah permukaan. Kedua lintasan mampu mewakili ke-9 titik pengukuran. Lintasan AA' melewati 3

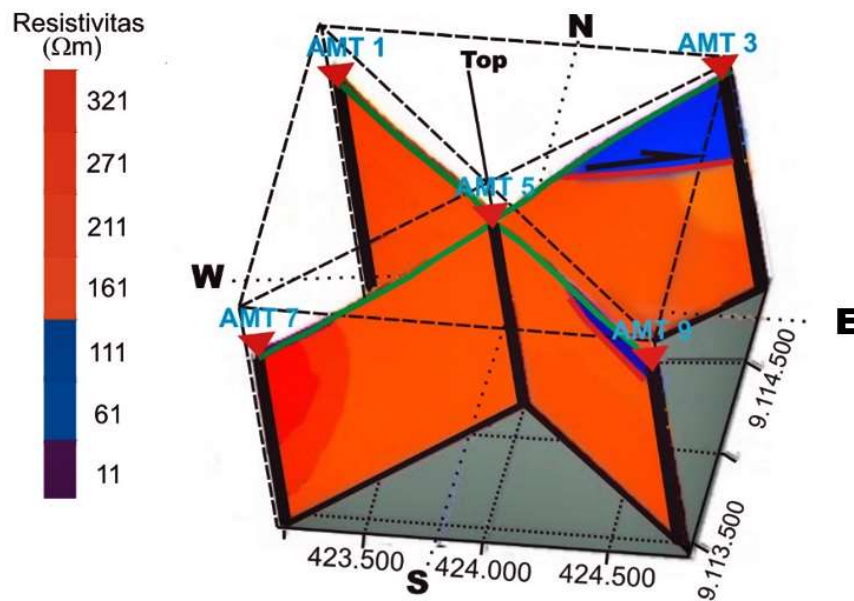
titik ukur AMT, yaitu AMT 1, AMT 5 dan AMT 9 dengan panjang lintasan mencapai 2240 m. Ketinggian minimum pada lintasan AA' yaitu 44 m dan ketinggian maksimum adalah 130 m

1 di atas permukaan laut. Dengan koordinat UTM antara 425190, 9114900 dan 426800, 9113400.

Sedangkan lintasan BB' melewati titik ukur AMT 7, AMT 5, dan AMT 3 dengan jarak 2240 m. Elevasi maksimum mencapai 260 m di atas permukaan laut dan elevasi minimum 20 m di atas permukaan laut. Lintasan ini terletak pada koordinat UTM antara 425100, 9113400 dan 426830, 9114900.

*Paleo-rockslide* Parangtritis melibatkan batugamping yang terdapat pada titik

pengukuran AMT 3, AMT 6 dan AMT 9 (**Gambar 6**). Berdasarkan Husein dkk. (2007) area *paleo-rockslide* ini menerus ke timur daerah penelitian ini hingga dibatasi sesar Girijati pada sisi timur area *paleo-rockslide*. Menurut Lutton dkk. (1979) terjadinya *rockslide* sebagian besar dikendalikan oleh struktur geologi seperti batas perlapisan dan bidang sesar. Maka, berdasarkan data resistivitas penelitian ini bidang gelincir dari *paleo-rockslide* Parangtritis sisi barat dapat ditafsirkan.



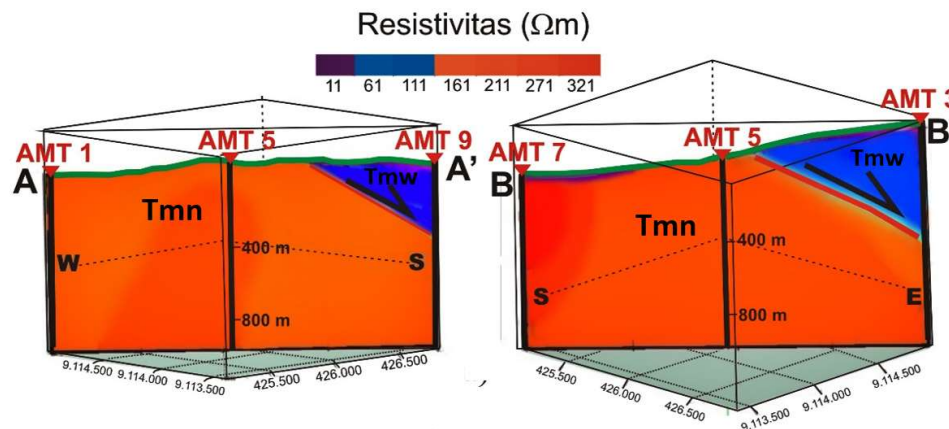
**Gambar 6.** Visual 3D fence struktur resistivitas dari perpotongan lintasan A-A' dan lintasan B-B'

Kejadian *rockslide* bergerak pada suatu bidang yang disebut bidang gelincir atau bidang geser. Berdasarkan struktur resistivitas dari data AMT, bidang geser dari area *paleo-rockslide* Parangtritis berada pada kedalaman hingga sekitar 250 m di bawah permukaan. Bidang ini merupakan bidang kontak antara batugamping Wonosari dan breksi andesit Nglanggran. Mendukung pernyataan Husein dkk. (2007), bidang gelincir yang tergambar pada lintasan AA' maupun BB' ini melengkung pada *head-ward* dan *toe-ward* serta memotong bidang perlapisan batugamping.

*Head-ward*, menyuplai graben saat sesar normal mendorong massa batuan bergerak ke bawah. *Toe-ward*, menyuplai cekungan saat sesar dorong utara mendorong massa batuan turun. Sehingga menghasilkan tebing-tebing tinggi dari blok dorong. Secara melintang bidang gelincir ini membentuk busur pada sisi graben dan mengontrol pergerakan massa batuan menuju ke tenggara. Ditinjau dari struktur resistivitas data AMT ini, bidang geser ini hanya terjadi pada kontak stratigrafi batugamping Wonosari dan breksi Nglanggran pada kedalaman sekitar 250 m.

1. Melihat fakta bahwa keberadaan struktur geologi regional yang ada di daerah penelitian tidak terbentuk dalam satu kurun waktu, maka analisis karakteristiknya akan menjadi rumit terlebih ini adalah kondisi di bawah permukaan. Kedua penampang resistivitas kemudian di korelasikan secara sederhana hingga dapat diinterpretasikan bahwa terdeteksi adanya kontak batas antar lapisan yang diduga sebagai bidang geser pasif dari longsor purba Parangtritis seperti terlihat pada Gambar 7.

Hasil penelitian ini sesuai dengan pendapat Husein dkk. (2007) bahwa bidang gelincir pasif (ikutan dari bidang gelincir aktif yang mengontrol longsor yaitu sesar normal Girijati) dari *paleo-rockslide* Parangtritis merupakan kontak yang membatasi breksi andesit Formasi Nglanggran dengan batugamping Formasi Wonosari. Bidang geser pasif ini juga menjadi batas satuan morfologi Pegunungan Struktural Terbiku Sedang dengan satuan morfologi Pegunungan Struktural Terbiku Kuat yang diklasifikasikan oleh Husein dan Srijono (2007).



Gambar 7. Penampang Resistivitas Lintasan AA' dan BB'. Tmn: Breksi Andesit Nglanggran, Tmw: Batugamping Terumbu Wonosari. Panah hitam: bidang gelincir

Terdapat *paleo-rockslide* ini dibuktikan terdapatnya morfologi dengan adanya ketinggian mencapai 260 m dan adanya tebing curam. Tentunya dengan morfologi yang signifikan, menjadikan area *paleo-rockslide* ini memiliki nilai resiko longsor masa kini. Seperti dijelaskan oleh Karlina (2014) bahwa, daerah Parangtritis dan sekitarnya memiliki resiko bahaya jatuhnya batuan dari rendah hingga tinggi.

## 5. KESIMPULAN

Hasil inversi 1D data *audio-magnetotelluric* (AMT) dari 9 titik pengukuran menunjukkan nilai *error* terkecil dengan model 3 lapisan. Resistivitas rendah (0-10  $\Omega\text{m}$ ) diinterpretasikan sebagai endapan pantai dan gumuk pasir, resistivitas sedang (50-160  $\Omega\text{m}$ ) untuk

batugamping Wonosari dan Resistivitas tinggi (170-350  $\Omega\text{m}$ ) untuk breksi andesit Nglanggran. Ketebalan rata-rata lapisan pertama 44 m dan lapisan kedua mencapai 175 m.

Berdasarkan struktur resistivitas bawah permukaan di area *paleo-rockslide* Parangtritis kontak batas lapisan antara batugamping Formasi Wonosari dan breksi Formasi Nglanggran pada kedalaman sekitar 250 m dibawah permukaan yang diduga menjadi bidang geser ikutan dari sesar yang mengontrol *paleo-rockslide* Parangtritis di sisi timur daerah penelitian.

## UCAPAN TERIMA KASIH

Ucapan terimakasih kami dedikasikan kepada Universitas Lampung, Fakultas Teknik

1 Dan Jurusan Teknik Geofisika. Data pokok kami peroleh berkat bantuan ibu Sintia Winda dari Geofisika Universitas Gadjah Mada. Referensi utama dari bapak Salahudin Husein Teknik Geologi Universitas Gadjah Mada.

#### DAFTAR PUSTAKA

- Berktold, A. (1983). Electromagnetic studies in geothermal regions. *Geophysical Surveys*. <https://doi.org/10.1007/BF01454000>
- Cagniard, L. (1953). BASIC THEORY OF THE MAGNETO-TELLURIC METHOD OF GEOPHYSICAL PROSPECTING. *GEOPHYSICS*. <https://doi.org/10.1190/1.1437915>
- Caldwell, G., Pearson, C., & Zayadi, H. (1986). Resistivity of Rocks in Geothermal Systems: A Laboratory Study. *Proceedings 8th NZ Geothermal Workshop*.
- Hoover, D. B., & Long, C. L. (1976). *Audio-magnetotelluric methods in reconnaissance geothermal exploration*. <http://pubs.er.usgs.gov/publication/70043033>
- Husein, S., & Srijono. (2007). Tinjauan Geomorfologi Pegunungan Selatan DIY/Jawa Tengah: Telaah Peran Faktor Endogenik dan Eksogenik dalam Proses Pembentukan Pegunungan. *Proceeding Workshop: Potensi geologi Pegunungan Selatan dalam Pengembangan Wilayah*. <https://doi.org/10.13140/RG.2.1.2784.0727>
- Husein, S., Sudarno, I., & Nugraha, A. (2007). Megascale Paleo-landslide at Parangtritis, as deduced from Geological and Geophysical Data. *Proceeding of Joint Convention Bali 2007, the 32nd HAGI, the 36th IAGI and the 29th IATMI Annual Convention, November 2007*. <https://doi.org/10.13140/RG.2.1.2849.6080>
- Juliarka, B. (2017). *Pemodelan Sistem Panasbumi Parang Wedang, Kabupaten Bantul, Yogyakarta berdasarkan Data Geologi, Geomagnetik dan Geokimia*. Universitas Gadjah Mada.
- Karlina, T. (2014). *Zonasi Bahaya Jatuhan Batuan di Sepanjang Jalan Desa Parangtritis - Desa Giricahyo, Provinsi DIY*. Universitas Gadjah Mada.
- Lutton, R. J., Banks, D. C., & Strohm, W. E. (1979). Slides in Gaillard Cut, Panama Canal Zone. In *Developments in Geotechnical Engineering*. <https://doi.org/10.1016/B978-0-444-41508-0.50012-0>
- Rahardjo, W., Sukandarrumidi, & Rosidi, H. M. D. (1995). *Peta Geologi Lembar Yogyakarta, Jawa* (2 ed.). Pusat Penelitian dan Pengembangan Geologi.
- Telford, W. M., Geldart, L. P., & Sheriff, R. E. (1990). *Applied geophysics. 2nd edition*. Cambridge University Press.
- Varnes, D. (1978). SLOPE MOVEMENT TYPES AND PROCESSES. *Transportation Research Board Special Report*.
- Vozoff, K. (1991). 8. The Magnetotelluric Method. In *Electromagnetic Methods in Applied Geophysics* (hal. 641–712). Society of Exploration Geophysicists. <https://doi.org/10.1190/1.9781560802686.ch8>

## ● 98% Overall Similarity

Top sources found in the following databases:

- 97% Internet database
- 98% Publications database
- Crossref database
- Crossref Posted Content database
- 7% Submitted Works database

---

### TOP SOURCES

The sources with the highest number of matches within the submission. Overlapping sources will not be displayed.

1	<b>repository.lppm.unila.ac.id</b>	97%
	Internet	
2	<b>Akroma Hidayatika, Suharno Suharno, Rahmi Mulyasari, Hesti Hesti, Be...</b>	<1%
	Crossref	
3	<b>slideshare.net</b>	<1%
	Internet	